



UNIVERSIDADE FEDERAL RURAL DO SEMI-ÁRIDO (UFERSA)
CENTRO MULTIDISCIPLINAR DE PAU DOS FERROS (CMPF)
DEPARTAMENTO DE ENGENHARIAS E TECNOLOGIA (DETEC)

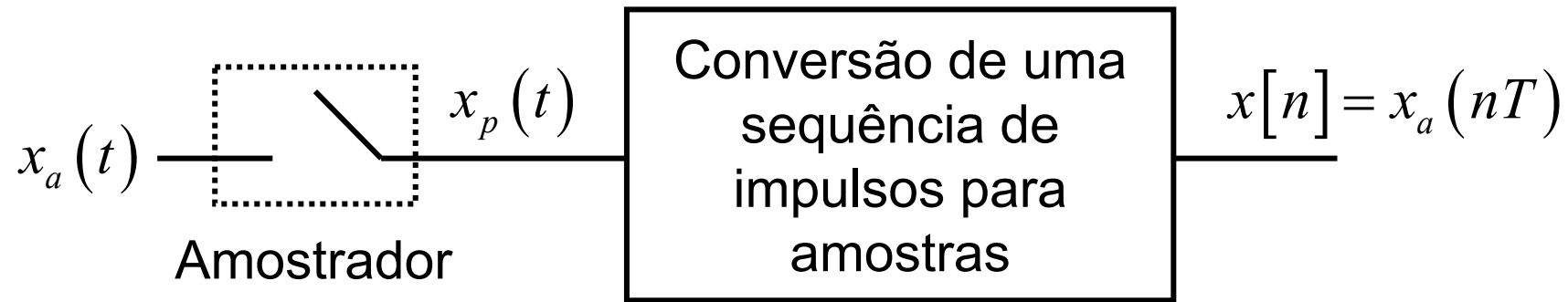
PROCESSAMENTO DIGITAL DE SINAIS

Aula 04

Amostragem

Prof.: Pedro Thiago Valério de Souza
UFERSA – Campus Pau dos Ferros
pedro.souza@ufersa.edu.br

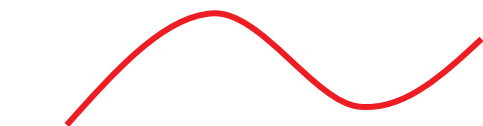
Conversão de Contínuo-Discreto



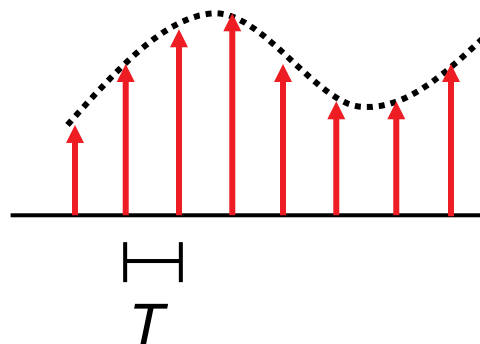
$T \rightarrow$ Intervalo de amostragem

Frequência de amostragem: $\Omega_s = \frac{2\pi}{T}$ [rad/s] $F_s = \frac{1}{T}$ [Hz]

$x_a(t)$

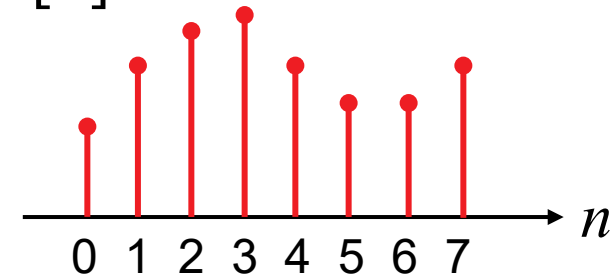


$x_p(t)$



O valor das amostras
é igual à área dos
impulsos

$x[n]$



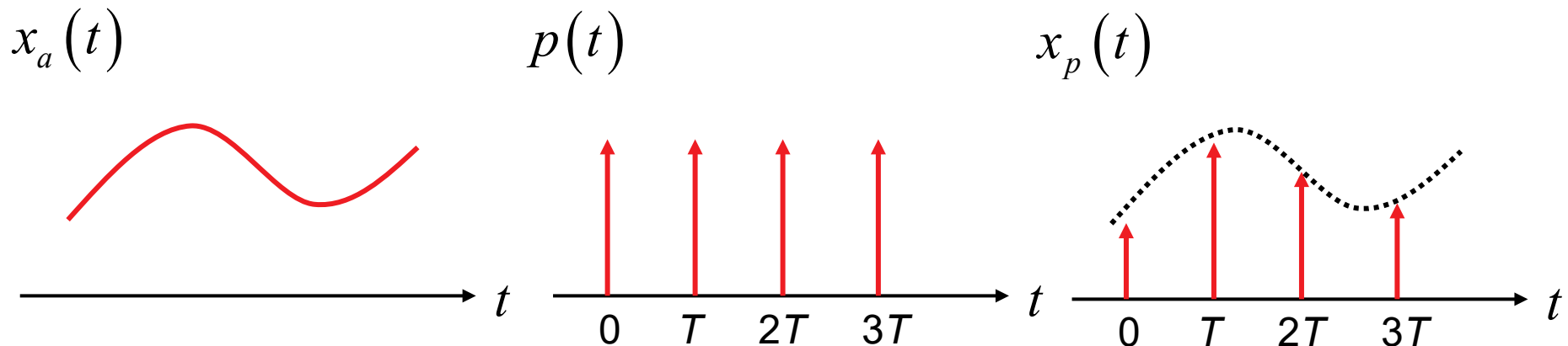
Trem de impulsos
com área de cada
impulso dada por $x_a(nT)$

Amostragem

Amostragem por trem de impulsos (amostragem ideal):



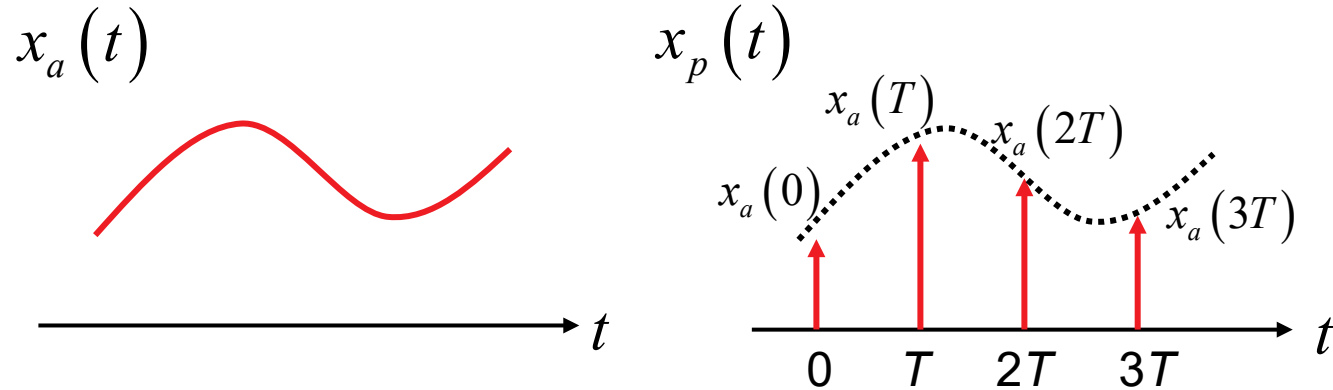
$$x_p(t) = x_a(t)p(t) \quad p(t) = \sum_{n=-\infty}^{\infty} \delta(t - nT)$$



Amostragem

Amostragem por trem de impulsos (amostragem ideal):

$$\begin{aligned}x_p(t) &= x_a(t) p(t) = x_a(t) \sum_{n=-\infty}^{\infty} \delta(t - nT) = \sum_{n=-\infty}^{\infty} x_a(t) \delta(t - nT) \\&= \sum_{n=-\infty}^{\infty} x_a(nT) \delta(t - nT)\end{aligned}$$



$$\left. \begin{aligned}x_a(t) &\Longleftrightarrow X_a(j\Omega) \\ p(t) &\Longleftrightarrow P(j\Omega) \\ x_p(t) &\Longleftrightarrow X_p(j\Omega)\end{aligned} \right\} \begin{aligned}x_p(t) &= x_a(t) p(t) \\ X_p(j\Omega) &= \frac{1}{2\pi} [X_a(j\Omega) * P(j\Omega)]\end{aligned}$$

Amostragem

Amostragem por trem de impulsos (amostragem ideal):

Transformada de Fourier de $p(t)$:

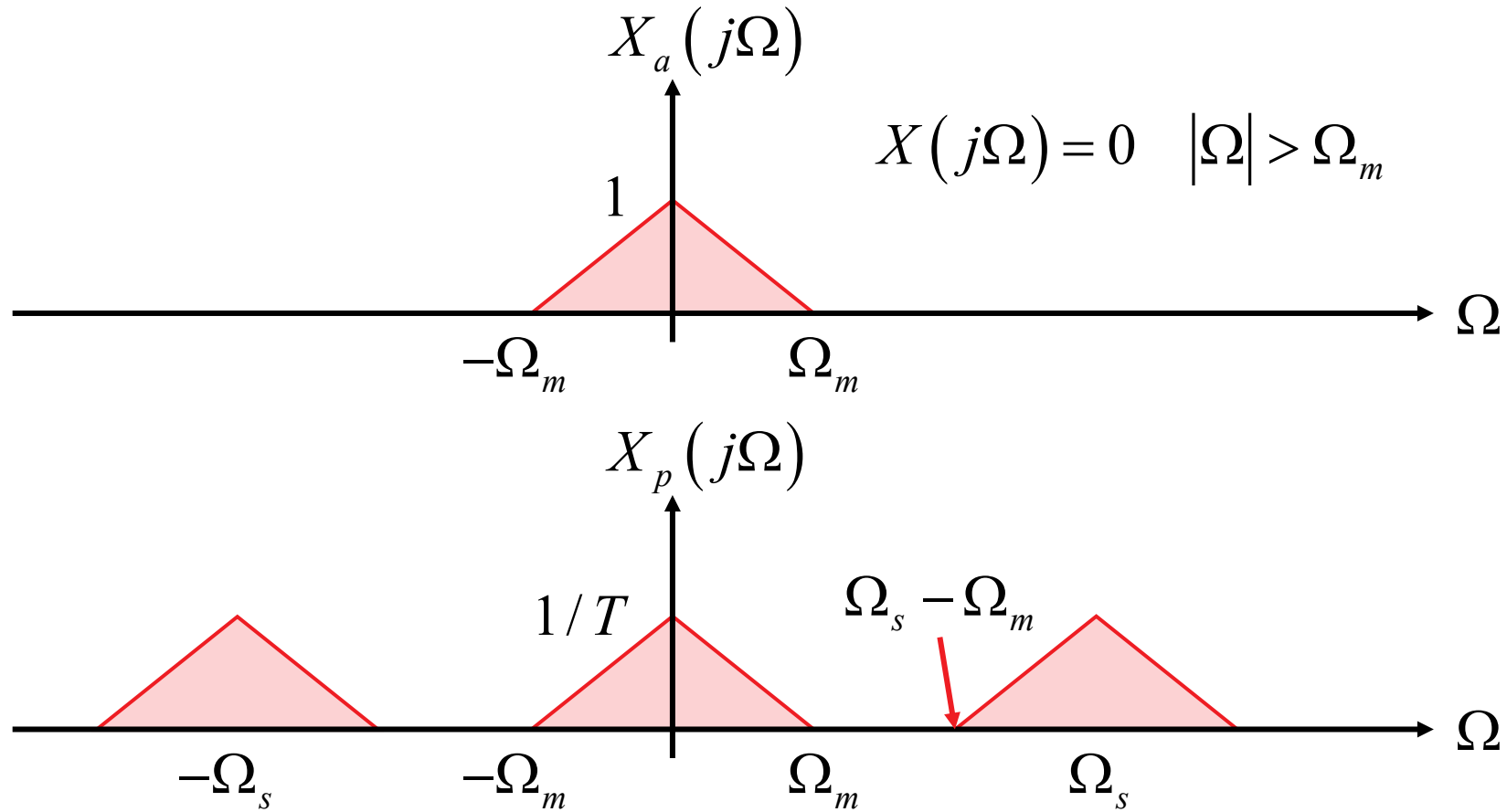
$$p(t) = \sum_{n=-\infty}^{\infty} \delta(t - nT) \longrightarrow P(j\Omega) = \frac{2\pi}{T} \sum_{k=-\infty}^{\infty} \delta\left(\Omega - \frac{2\pi}{T}k\right) \text{ (Ver o livro do Oppenheim)}$$

$$\begin{aligned} X_p(j\Omega) &= \frac{1}{2\pi} [X_a(j\Omega) * P(j\Omega)] = \frac{1}{2\pi} X_a(j\Omega) * \left\{ \frac{2\pi}{T} \sum_{k=-\infty}^{\infty} \delta\left(\Omega - \frac{2\pi}{T}k\right) \right\} \\ &= \frac{1}{2\pi} \frac{2\pi}{T} \sum_{k=-\infty}^{\infty} X_a(j\Omega) * \delta\left(\Omega - \frac{2\pi}{T}k\right) \\ &= \frac{1}{T} \sum_{k=-\infty}^{\infty} X_a\left(j\left[\Omega - \frac{2\pi}{T}k\right]\right) = \frac{1}{T} \sum_{k=-\infty}^{\infty} X_a(j[\Omega - k\Omega_s]) \end{aligned}$$

O espectro do sinal amostrado consiste em réplicas do espectro do sinal original, equiespaçadas (em frequência) de Ω_s rad/s

Amostragem

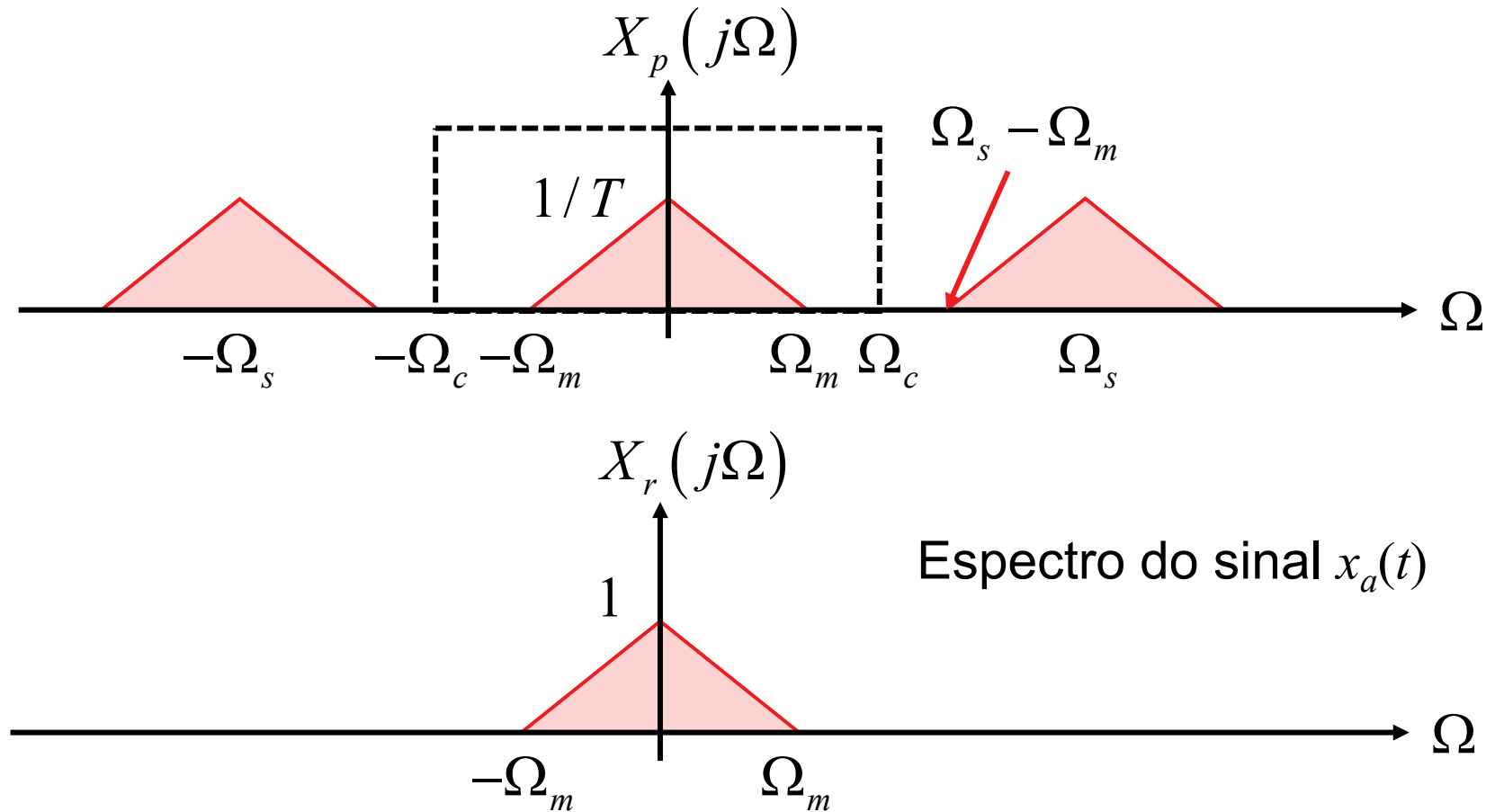
Amostragem por trem de impulsos (amostragem ideal):



Amostragem

Amostragem por trem de impulsos (amostragem ideal):

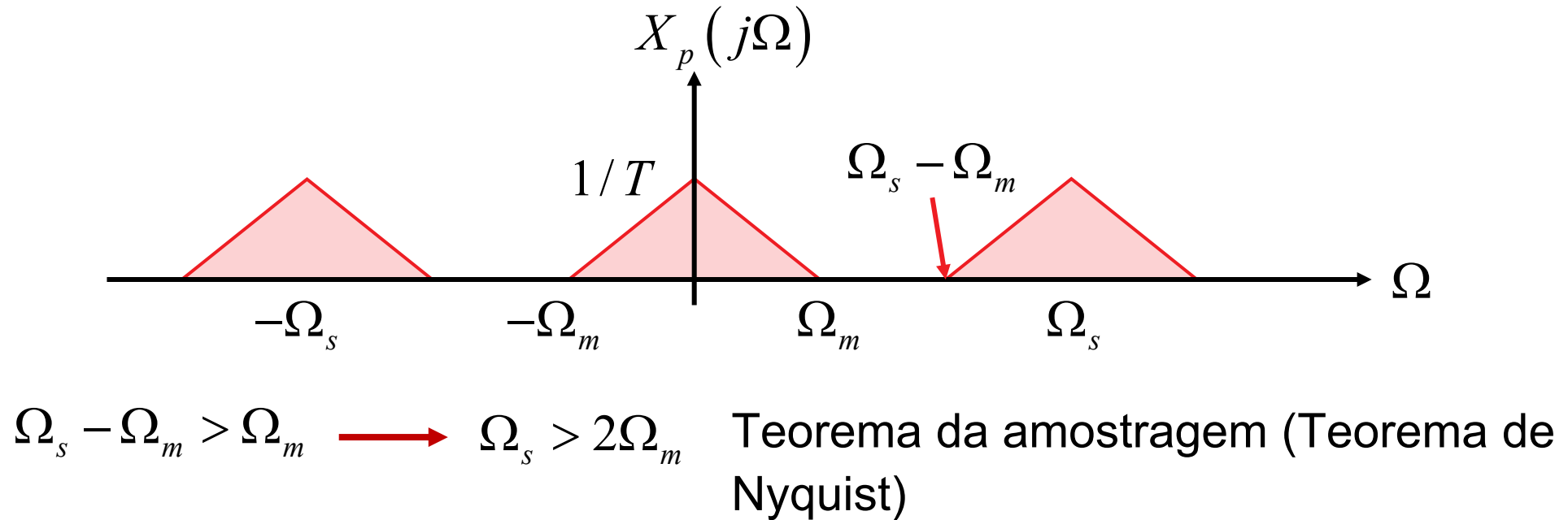
A reconstrução pode ser feita filtrando-se apenas a réplica centrada na origem e aplicar um ganho T



Amostragem

Amostragem por trem de impulsos (amostragem ideal):

Para que a reconstrução possa ser feita, as réplicas não podem se sobrepor.



Amostragem

Amostragem por trem de impulsos (amostragem ideal):

Teorema da amostragem (Teorema de Nyquist):

Seja $x_a(t)$ um sinal limitado em banda, tal que $X(j\Omega) = 0$ para $|\Omega| > \Omega_m$. O sinal $x_a(t)$ pode ser recuperado de forma única através de suas amostras $\{x_a(nT)\}$ se:

$$\Omega_s > 2\Omega_m$$

O filtro de recuperação deverá ser um filtro passa-baixas, com ganho T e frequência de corte Ω_c tal que:

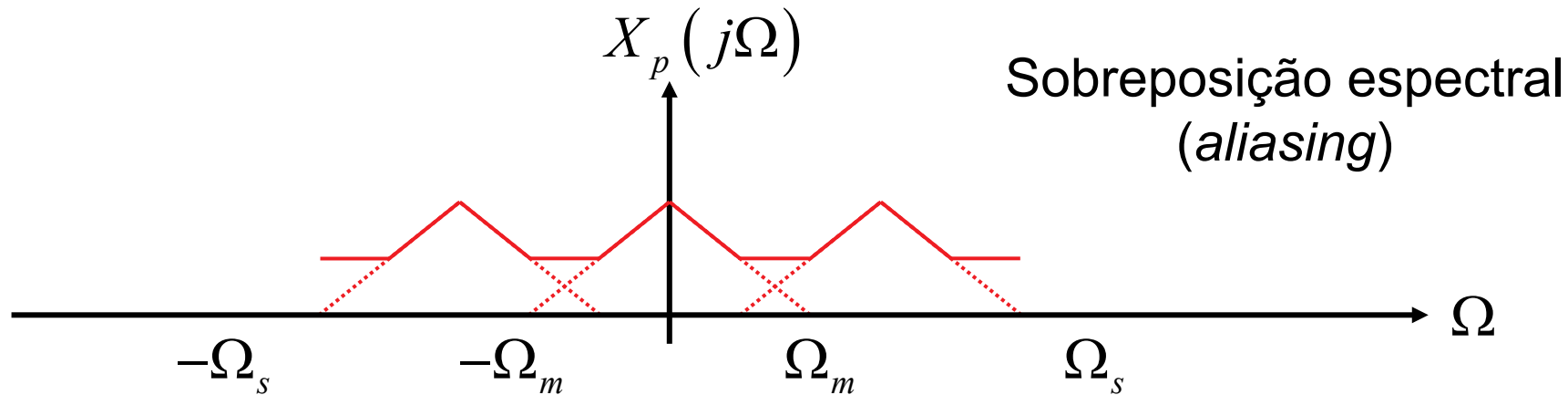
$$\Omega_m < \Omega_c < \Omega_s - \Omega_m$$

A frequência no qual $\Omega_s = 2 \Omega_m$ é denominada de frequência de Nyquist.

Amostragem

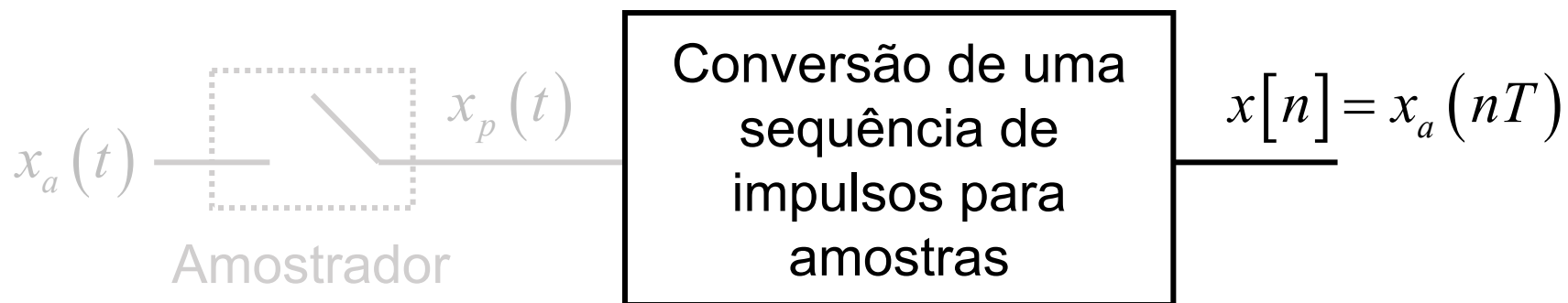
Amostragem por trem de impulsos (amostragem ideal):

Se o teorema de Nyquist não for respeitado, acontece sobreposição das réplicas (*aliasing*):



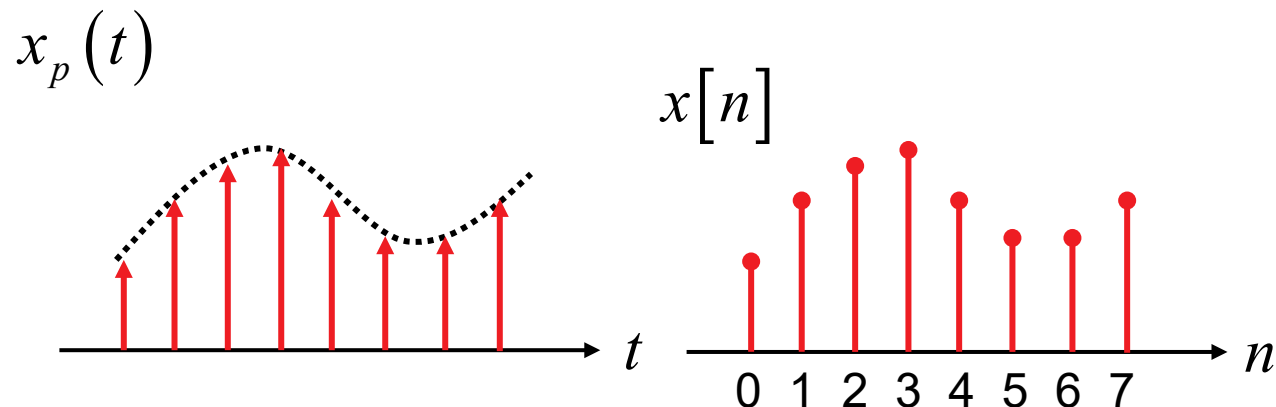
Exemplo 1: Na telefonia digital, o sinal de voz é limitado em banda à 3,4 kHz. Determine: (a) a frequência de Nyquist e (b) A taxa de amostragem, sabendo que o sinal é amostrado a uma taxa 17% superior à de Nyquist.

Conversão para uma sequência de amostras



$x_p(t)$ \longrightarrow Tempo contínuo

Sinal de tempo discreto gerado através da conversão da “amplitude” dos impulsos para uma sequência de valores.



Conversão para uma sequência de amostras

Análise da DTFT de $x[n]$:

$$x_p(t) = x_a(t) p(t) = x_a(t) \sum_{n=-\infty}^{\infty} \delta(t - nT) = \sum_{n=-\infty}^{\infty} x_a(t) \delta(t - nT)$$

$$= \sum_{n=-\infty}^{\infty} x_a(nT) \delta(t - nT) = \sum_{n=-\infty}^{\infty} x[n] \delta(t - nT)$$

$$X_p(j\Omega) = \mathcal{F}\{x_p(t)\} = \mathcal{F}\left\{\sum_{n=-\infty}^{\infty} x[n] \delta(t - nT)\right\}$$

$$= \sum_{n=-\infty}^{\infty} \mathcal{F}\{x[n] \delta(t - nT)\} = \sum_{n=-\infty}^{\infty} x[n] \mathcal{F}\{\delta(t - nT)\}$$

$$= \sum_{n=-\infty}^{\infty} x[n] e^{-j\Omega T n}$$

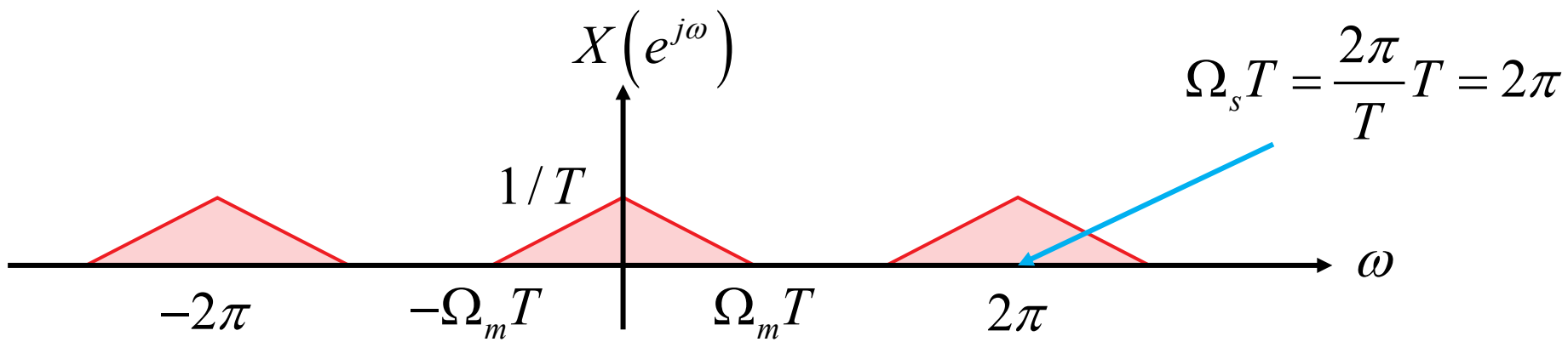
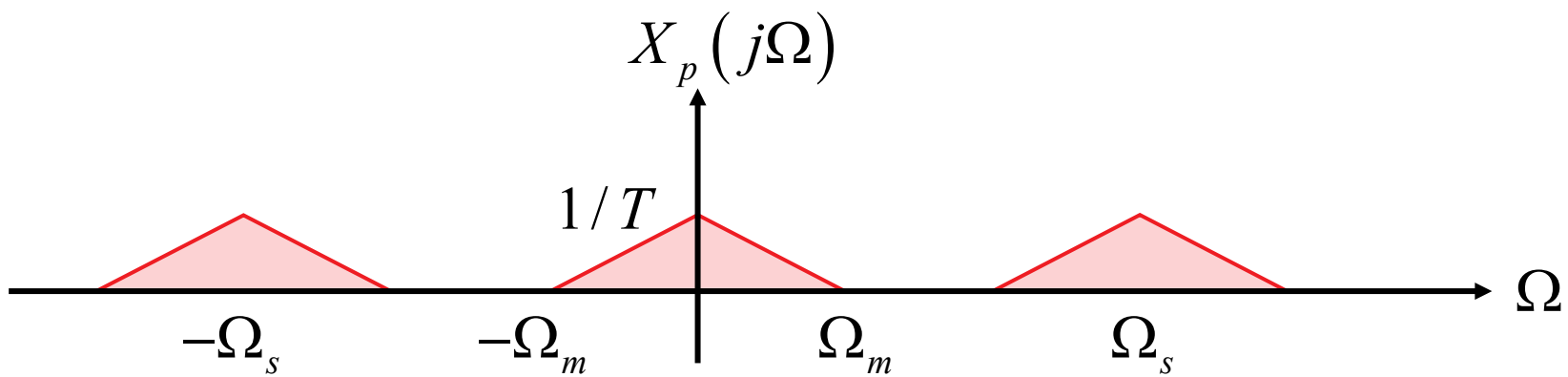
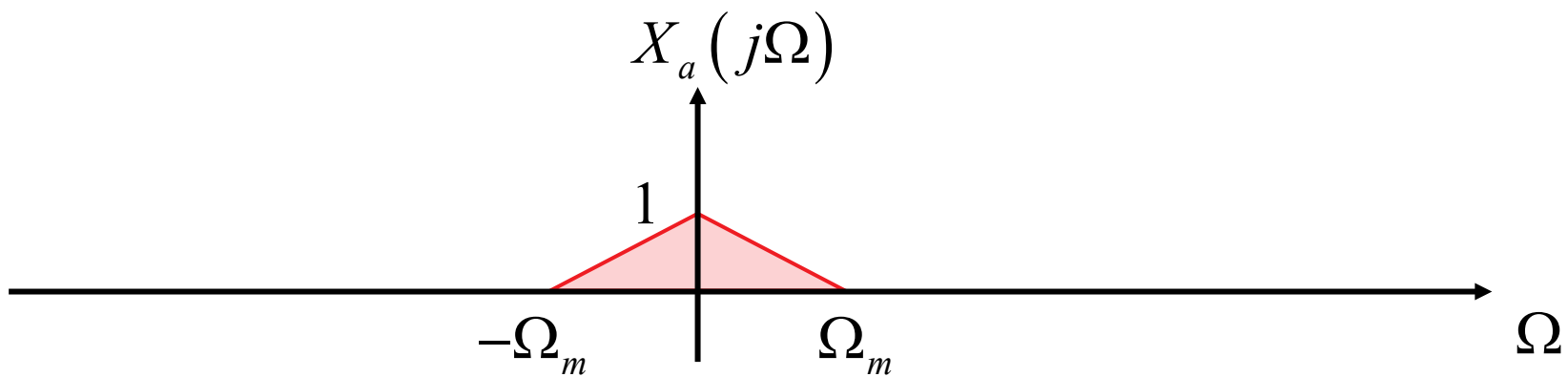
$$X(e^{j\omega}) = \mathcal{F}\{x[n]\} = \sum_{n=-\infty}^{\infty} x[n] e^{-j\omega n}$$

$$\text{Por comparação: } X(e^{j\omega}) = X_p(j\Omega) \Big|_{\Omega = \frac{\omega}{T}}$$

Conversão para uma sequência de amostras

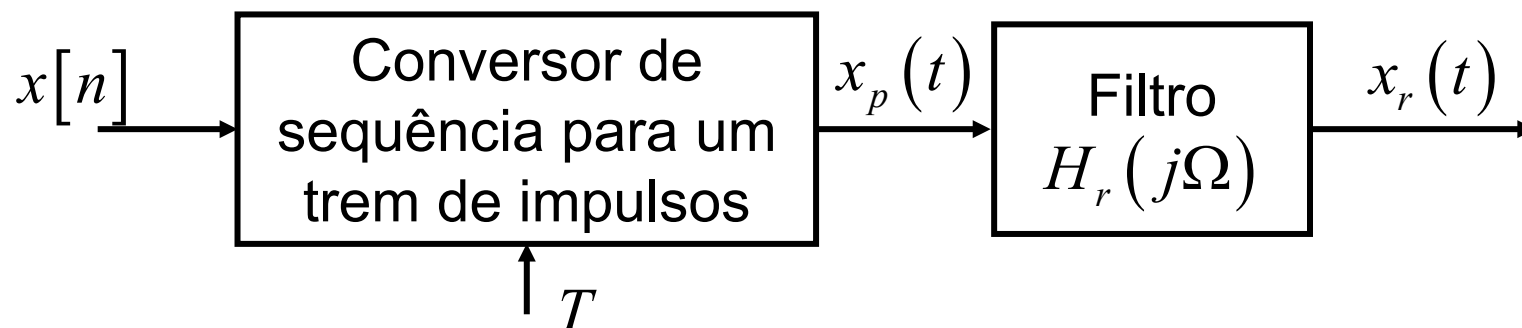
A DTFT de $x[n]$ corresponde a uma versão de $X_p(j\Omega)$, com uma mudança na escala de frequência por um fator $\Omega = \omega / T$.

$$X_p(j\Omega) = \frac{1}{T} \sum_{k=-\infty}^{\infty} X_a(j[\Omega - \Omega_s k]) \longrightarrow X(e^{j\omega}) = \frac{1}{T} \sum_{k=-\infty}^{\infty} X_a \left[j \left(\frac{\omega}{T} - \frac{2\pi k}{T} \right) \right]$$

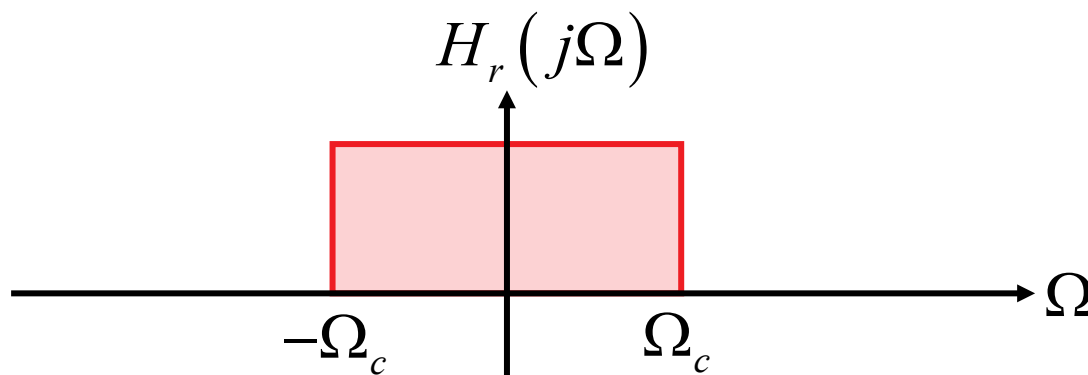


Reconstrução (Interpolação)

Diagrama de blocos do interpolador:




Filtro de reconstrução: passa-baixas, com ganho T e frequência de corte Ω_c rad/s.



$$H_r(j\Omega) = \begin{cases} T & |\Omega| < \Omega_c \\ 0 & \text{c.c.} \end{cases}$$

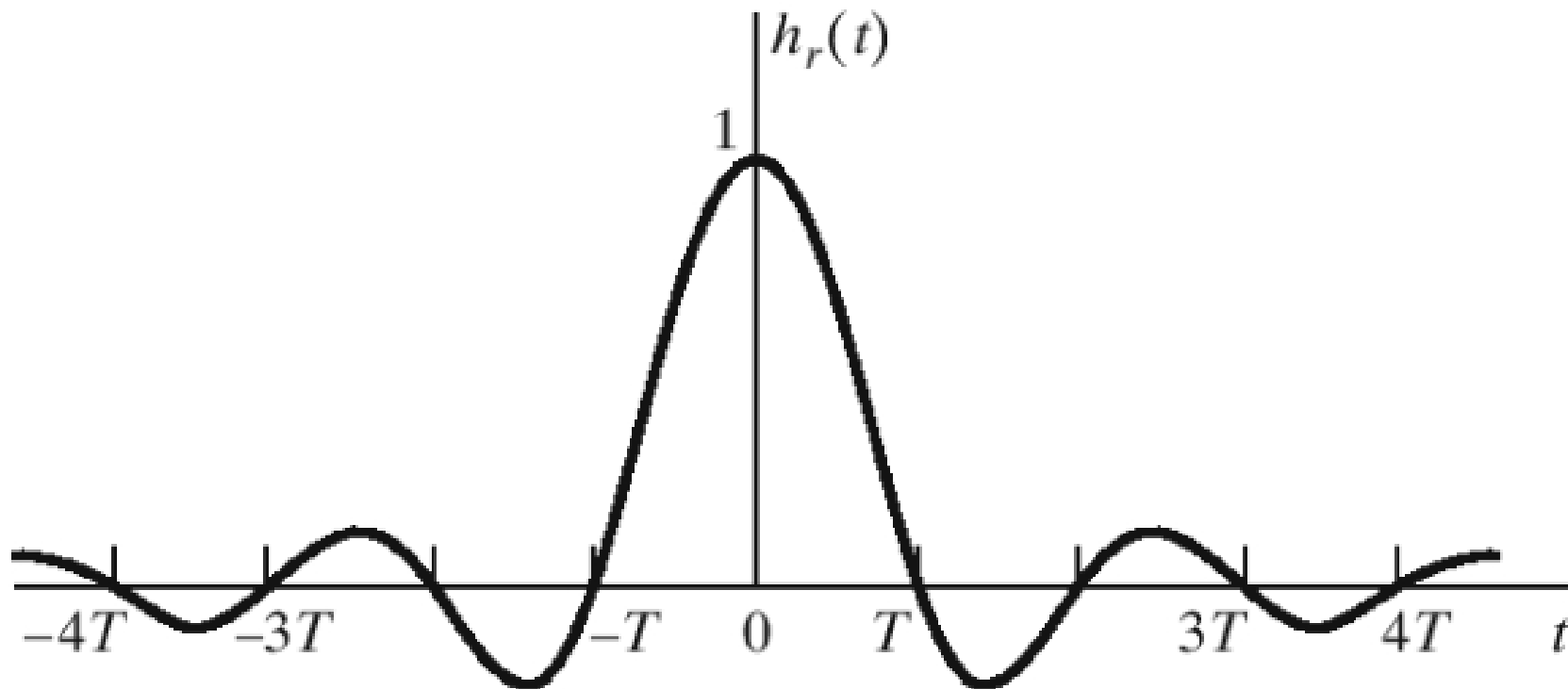
$$\begin{aligned} h_r(t) &= \mathcal{F}^{-1}\{H_r(j\Omega)\} \\ &= \frac{\Omega_c T \sin(\Omega_c t)}{\pi \Omega_c t} \end{aligned}$$

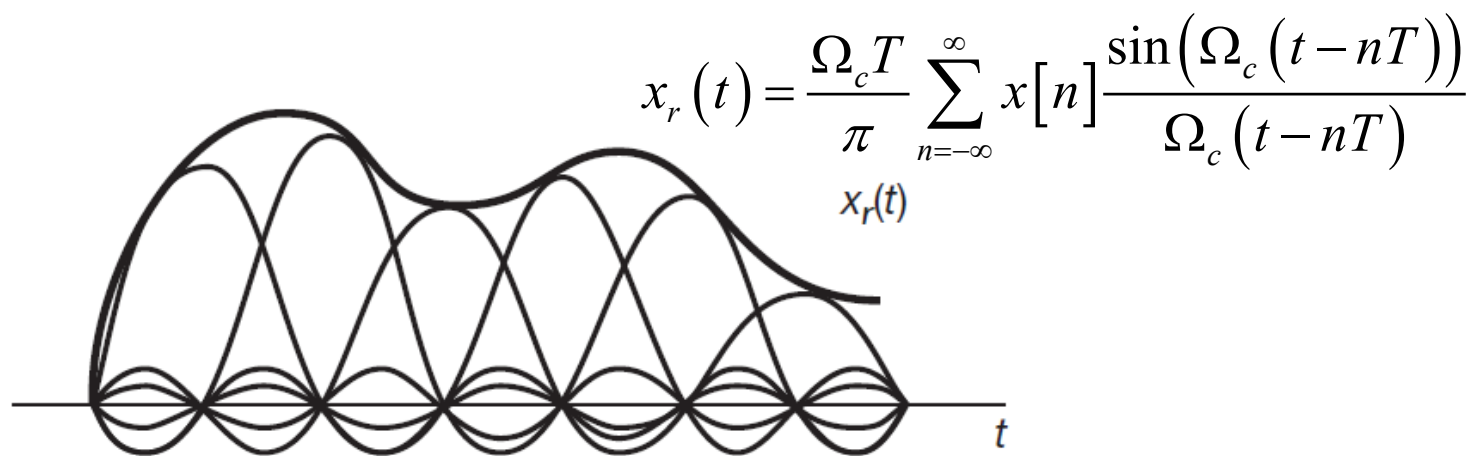
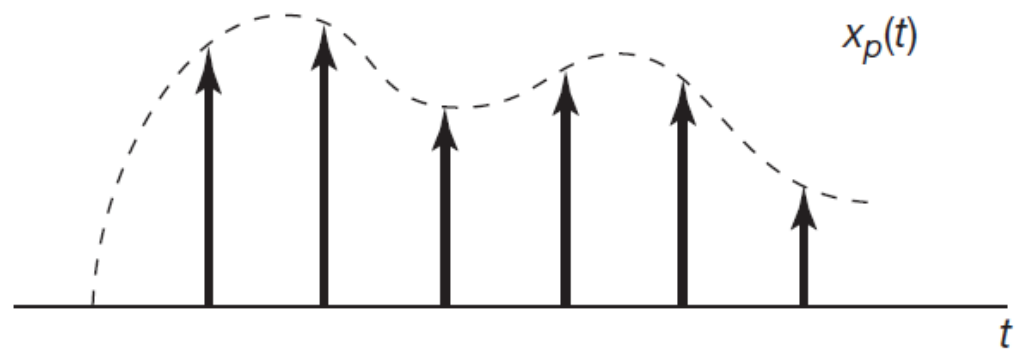
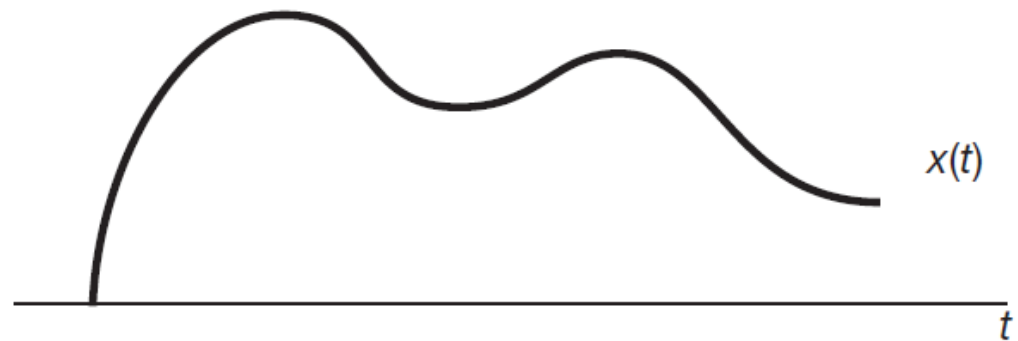
Reconstrução (Interpolação)

$$\begin{aligned}x_r(t) &= x_p(t) * h_r(t) = x_p(t) * \frac{\Omega_c T \sin(\Omega_c t)}{\pi \Omega_c t} = \left\{ \sum_{n=-\infty}^{\infty} x[n] \delta(t - nT) \right\} * \frac{\Omega_c T \sin(\Omega_c t)}{\pi \Omega_c t} \\&= \sum_{n=-\infty}^{\infty} \left\{ x[n] \delta(t - nT) \right\} * \frac{\Omega_c T \sin(\Omega_c t)}{\pi \Omega_c t} \\&= \sum_{n=-\infty}^{\infty} x[n] \delta(t - nT) * \frac{\Omega_c T \sin(\Omega_c t)}{\pi \Omega_c t} \\&= \frac{\Omega_c T}{\pi} \sum_{n=-\infty}^{\infty} x[n] \frac{\sin(\Omega_c (t - nT))}{\Omega_c (t - nT)}\end{aligned}$$


Combinação linear de funções tipo “sinc”.

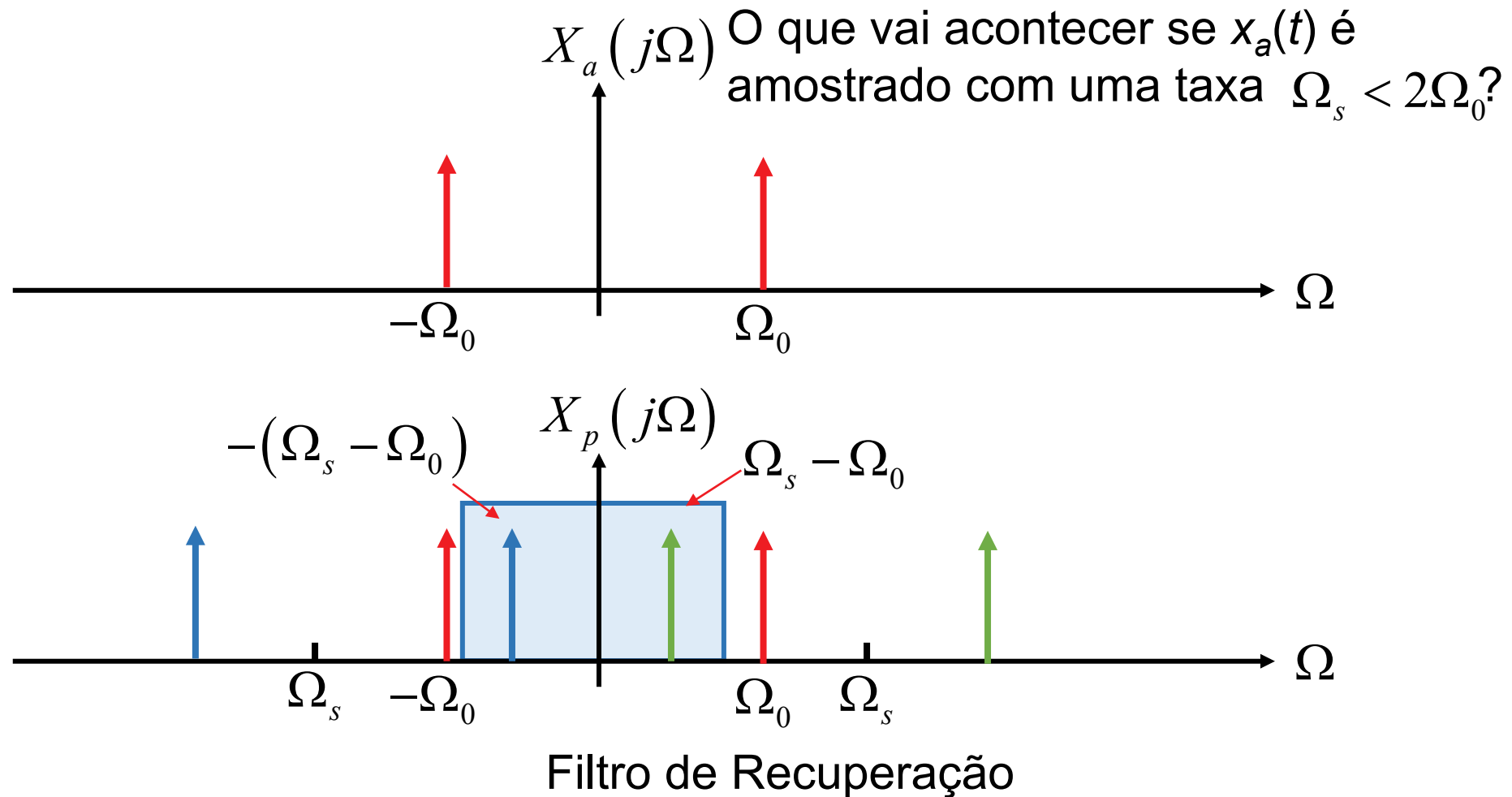
$$h_r(t) = \frac{\Omega_c T \sin(\Omega_c t)}{\pi \Omega_c t}$$





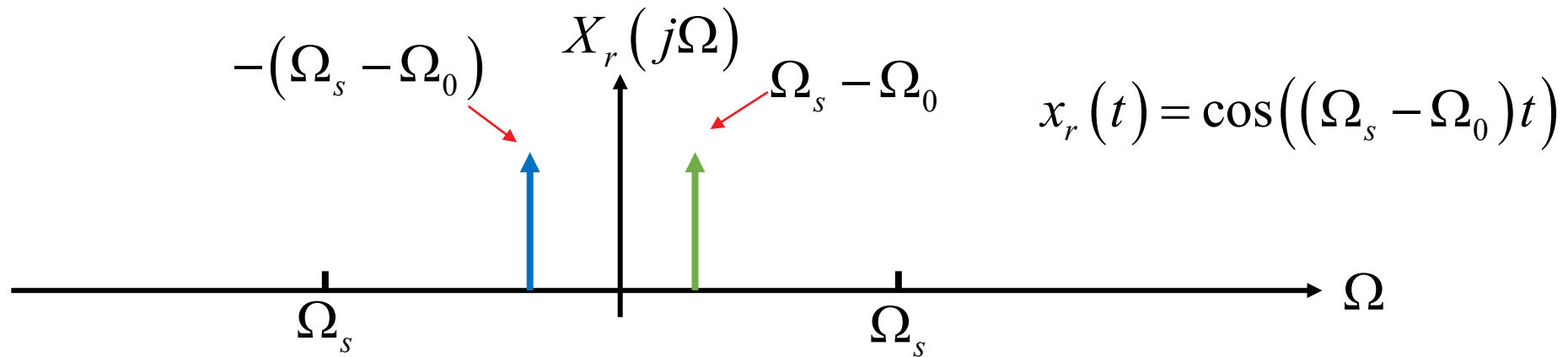
Efeito do *Aliasing* em sinais senoidais

$$x_a(t) = \cos(\Omega_0 t) \quad X_a(j\Omega) = \pi \{ \delta(\Omega - \Omega_0) + \delta(\Omega + \Omega_0) \}$$



Efeito do *Aliasing* em sinais senoidais

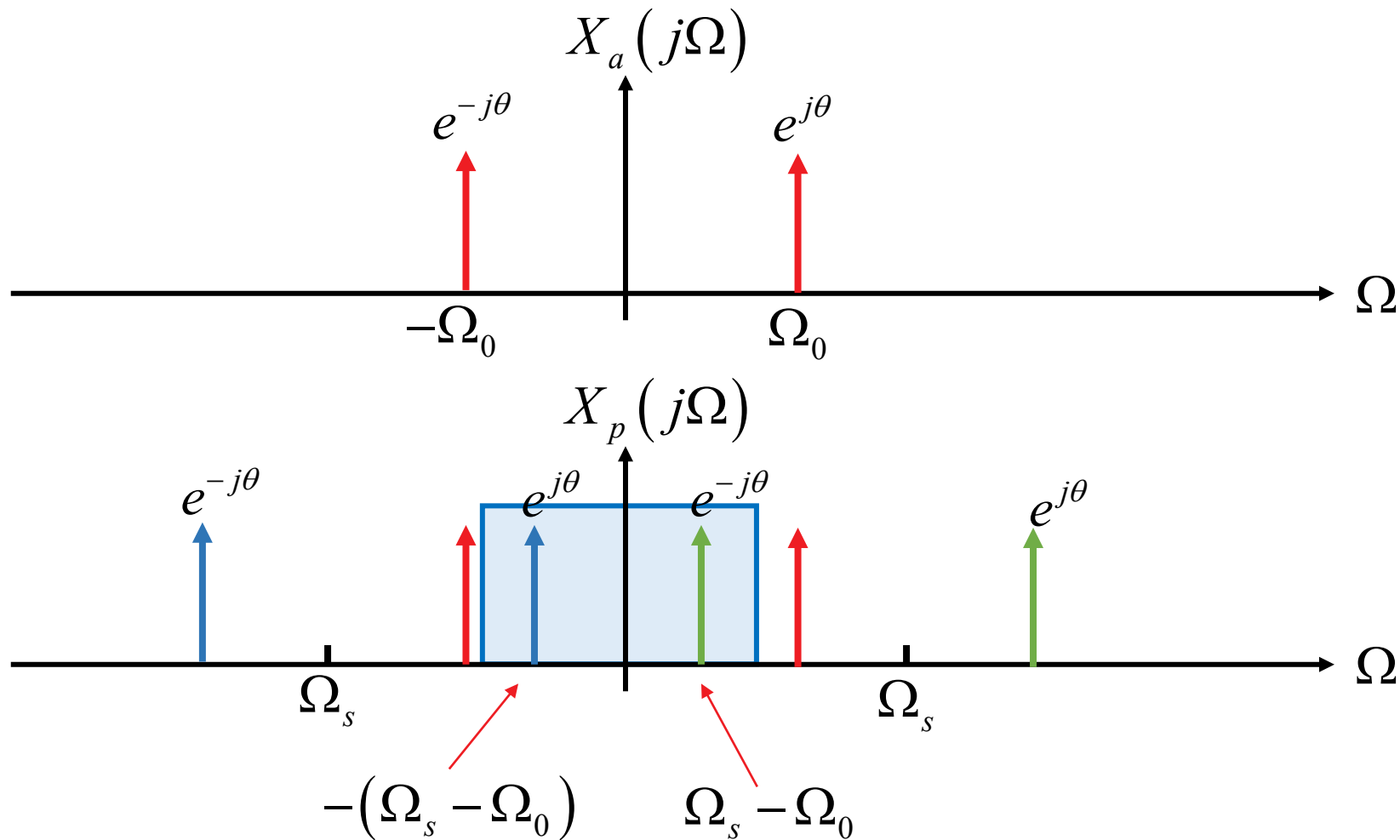
Após a recuperação:



Aliasing: Efeito no qual um sinal de frequência maior se comporta como um sinal de frequência menor.

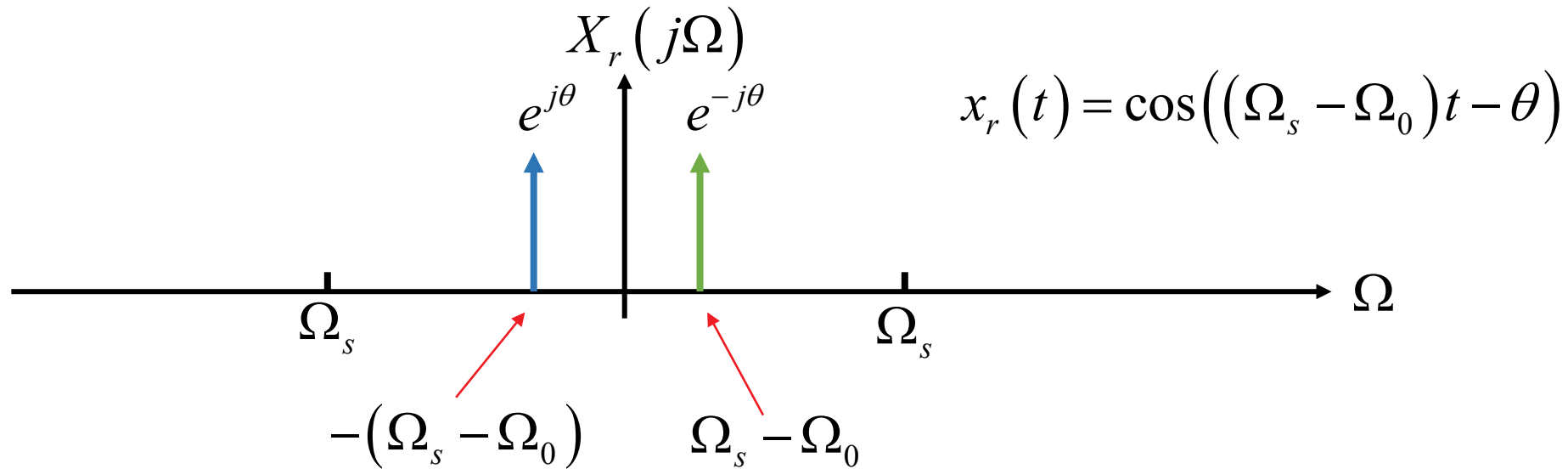
Efeito do *Aliasing* em sinais senoidais

$$x_a(t) = \cos(\Omega_0 t + \theta) \quad X_a(\omega) = \pi \left\{ e^{j\theta} \delta(\Omega - \Omega_0) + e^{-j\theta} \delta(\Omega + \Omega_0) \right\}$$



Efeito do *Aliasing* em sinais senoidais

Após a recuperação:

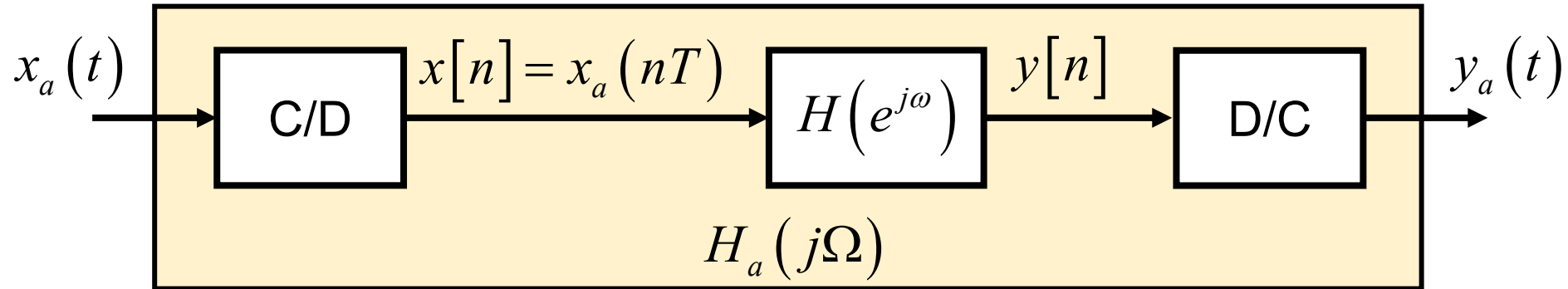


Aliasing: Efeito no qual um sinal de frequência maior se comporta como um sinal de frequência menor, adicionalmente, uma inversão de fase.

Processamento em Tempo Discreto de Sinais de Tempo Contínuo

- Vantagens no processamento em tempo discreto de sinais:
 - São mais fáceis de projetar;
 - O armazenamento da informação é feito de forma mais simples;
 - São mais versáteis;
 - São mais robustos ao efeito do ruído;
 - Podem ser mais baratos do que sistemas completamente analógicos;
 - Permitem o uso de técnicas avançadas de processamento (criptografia, codificação, compressão,...);
- Desvantagens:
 - A maioria dos sinais encontrados na natureza são de tempo contínuo.

Processamento em Tempo Discreto de Sinais de Tempo Contínuo



$$X(e^{j\omega}) = \frac{1}{T} \sum_{k=-\infty}^{\infty} X_a \left(j \left[\frac{\omega}{T} - \frac{2\pi k}{T} \right] \right)$$

$$Y(e^{j\omega}) = H(e^{j\omega}) X(e^{j\omega}) = H(e^{j\omega}) \frac{1}{T} \sum_{k=-\infty}^{\infty} X_a \left(j \left[\frac{\omega}{T} - \frac{2\pi k}{T} \right] \right)$$

Após a reconstrução do sinal:

$$Y_a(j\Omega) = H_r(j\Omega) \left[Y(e^{j\omega}) \Big|_{\omega=\Omega T} \right] = H_r(j\Omega) \left[H(e^{j\omega}) \frac{1}{T} \sum_{k=-\infty}^{\infty} X_a \left(j \left[\frac{\omega}{T} - \frac{2\pi k}{T} \right] \right) \right] \Big|_{\omega=\Omega T}$$

Processamento em Tempo Discreto de Sinais de Tempo Contínuo

$$Y_a(j\Omega) = \frac{1}{T} H_r(j\Omega) H(e^{j\Omega T}) \sum_{k=-\infty}^{\infty} X_a(j[\Omega - \Omega_s k])$$

$$H_r(j\Omega) = \begin{cases} T & |\Omega| \leq \Omega_c \\ 0 & \text{c.c.} \end{cases} \quad \Omega_m < \Omega_c < \Omega_s - \Omega_m$$

 O filtro elimina todas as replicas, mantendo apenas a centrada na origem.

Desta forma:
$$Y_a(j\Omega) = \begin{cases} H(e^{j\Omega T}) X_a(j\Omega) & |\Omega| \leq \Omega_c \\ 0 & \text{c.c.} \end{cases}$$

Ou seja:
$$H_a(j\Omega) = \begin{cases} H(e^{j\Omega T}) & |\Omega| \leq \Omega_c \\ 0 & \text{c.c.} \end{cases} = \begin{cases} H(e^{j\omega}) \big|_{\omega=\Omega T} & |\Omega| \leq \Omega_c \\ 0 & \text{c.c.} \end{cases}$$

Qualquer conversão de tempo discreto – tempo contínuo (usando amostragem ideal) pode ser feita através da seguinte relação: $\omega = \Omega T$

Processamento em Tempo Discreto de Sinais de Tempo Contínuo

Exemplo 2: Considere um sistema de remoção da componente de 60 Hz de um sinal de eletrocardiograma (ECG). O sistema é composto por um conversor A/D ideal, seguido de um filtro *Notch* e, por fim, um conversor D/A ideal. O filtro *Notch* é um filtro rejeita-faixas com banda de passagem muito estreita, de forma a remover uma certa componente de frequência. A frequência a ser removida é a frequência central do filtro *Notch*. Admitindo que o sinal de ECG a ser amostrado possui frequência máxima de 80 Hz, determine:

- (a) A frequência de amostragem, admitindo que o sinal de ECG é amostrado com uma frequência 25% superior à de Nyquist.
- (b) A frequência central do filtro *Notch* de tempo discreto de forma a remover a componente de 60 Hz, admitindo a frequência de amostragem calculada no item (a).

Filtro *Notch* de Tempo Discreto:

$$y[n] - 2r \cos(\omega_0) y[n-1] + r^2 y[n-2] = x[n] - 2 \cos(\omega_0) x[n-1] + x[n-2]$$

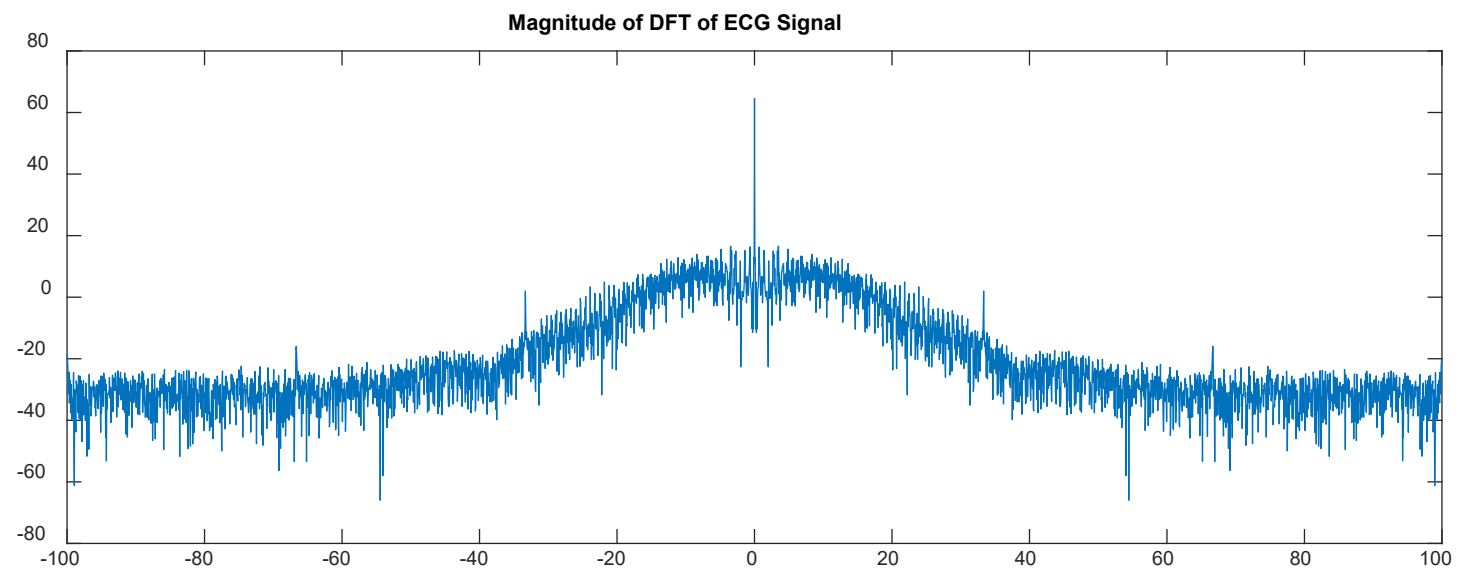
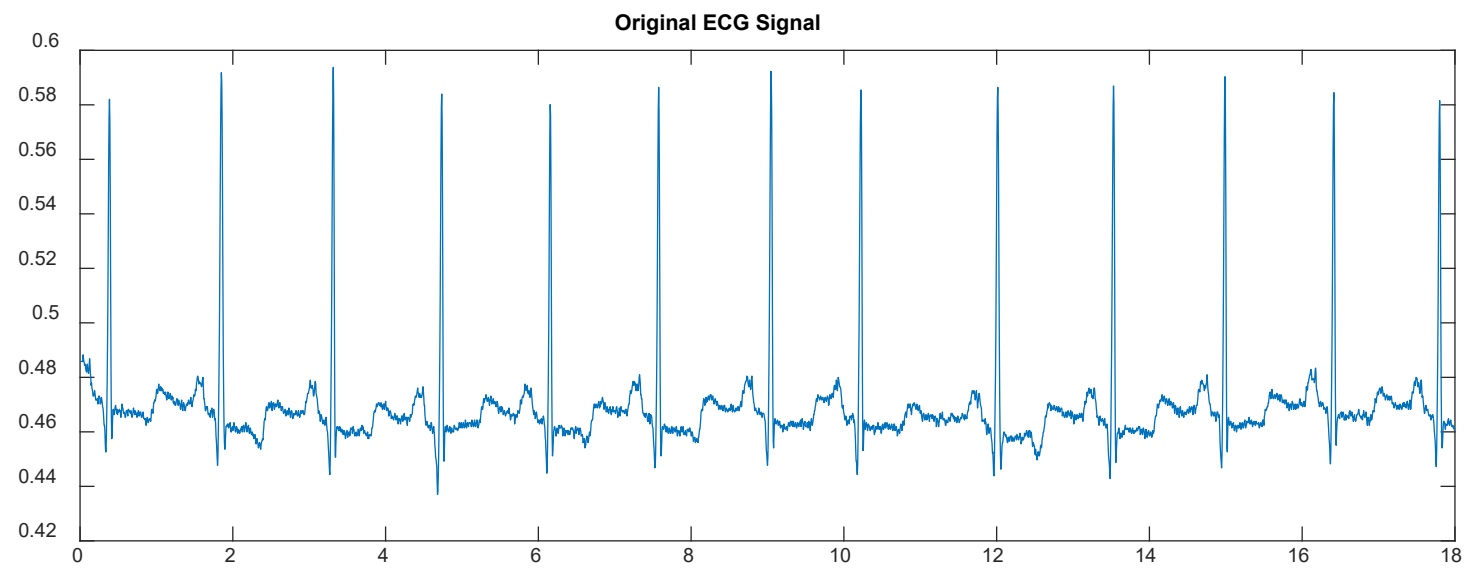
$$H(e^{j\omega}) = \frac{1 - 2 \cos(\omega_0) e^{-j\omega} + e^{-j2\omega}}{1 - 2r \cos(\omega_0) e^{-j\omega} + r^2 e^{-j2\omega}}$$

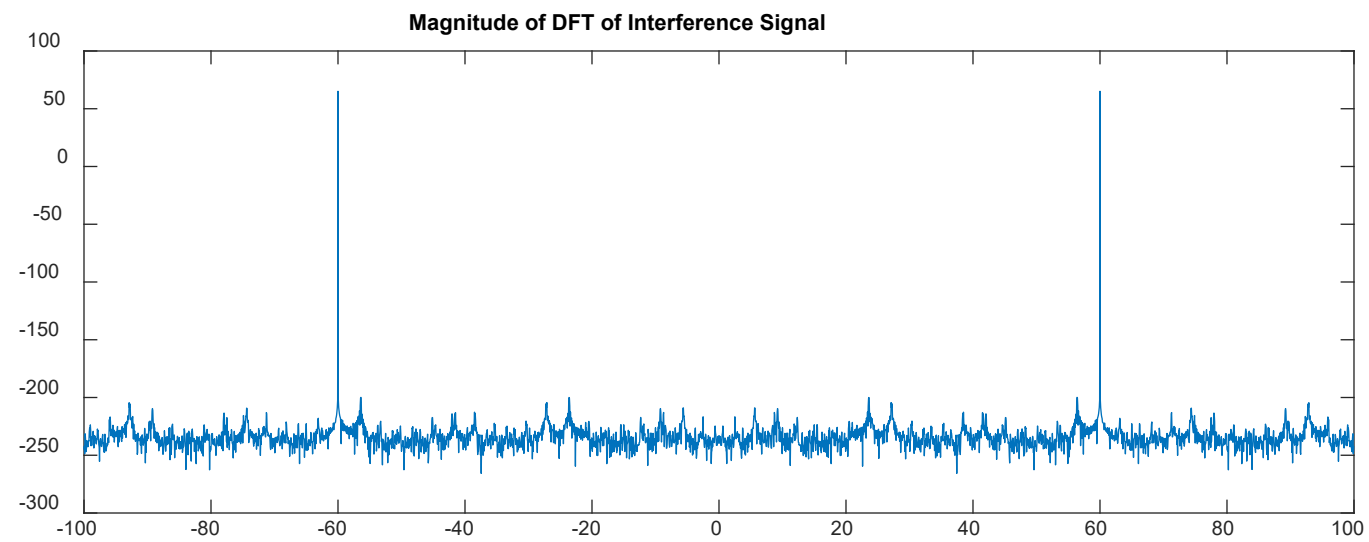
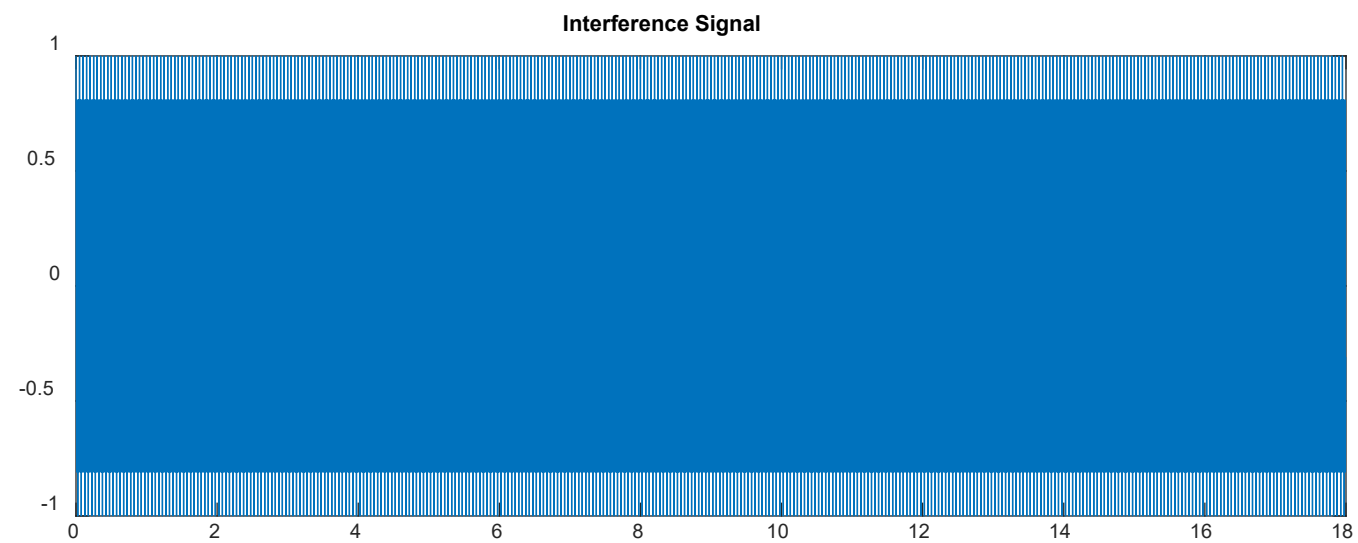
$$r = 1 - \left(\frac{BW}{F_s} \right) \pi \qquad \omega_0 = \frac{2\pi f_0}{f_s}$$

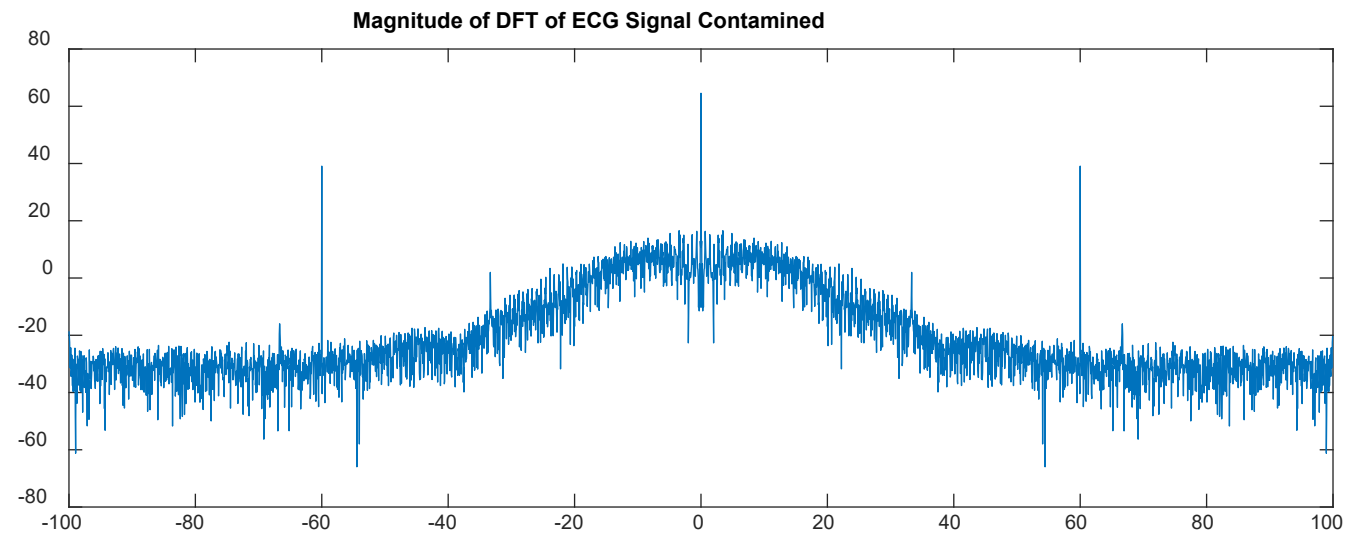
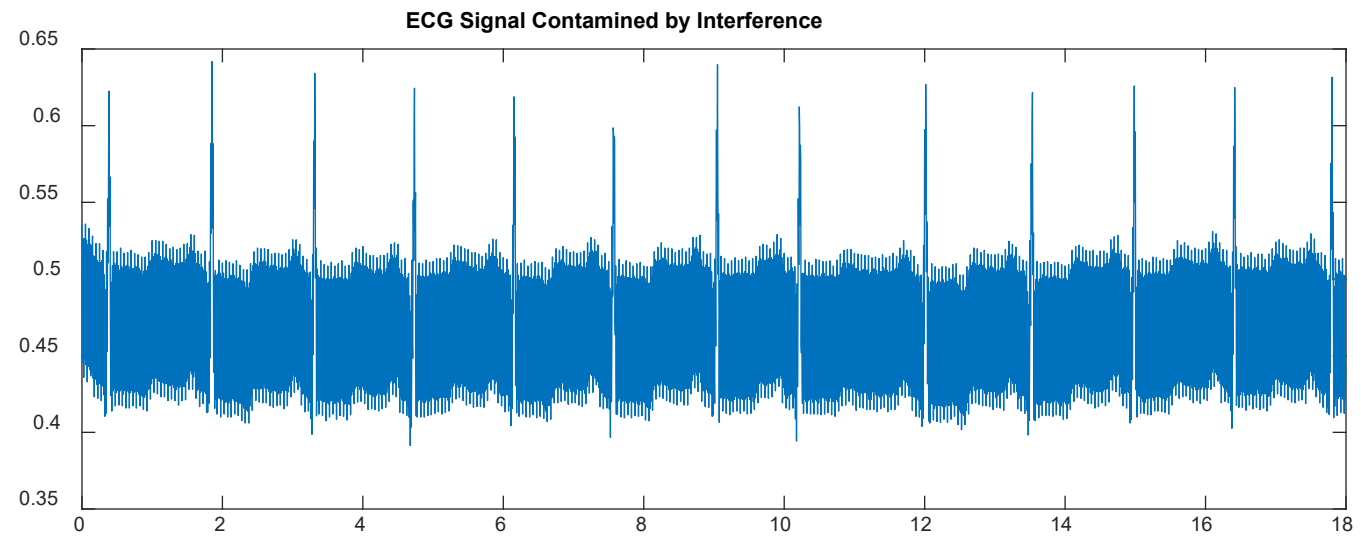
Testes considerados: $BW = 4$ Hz

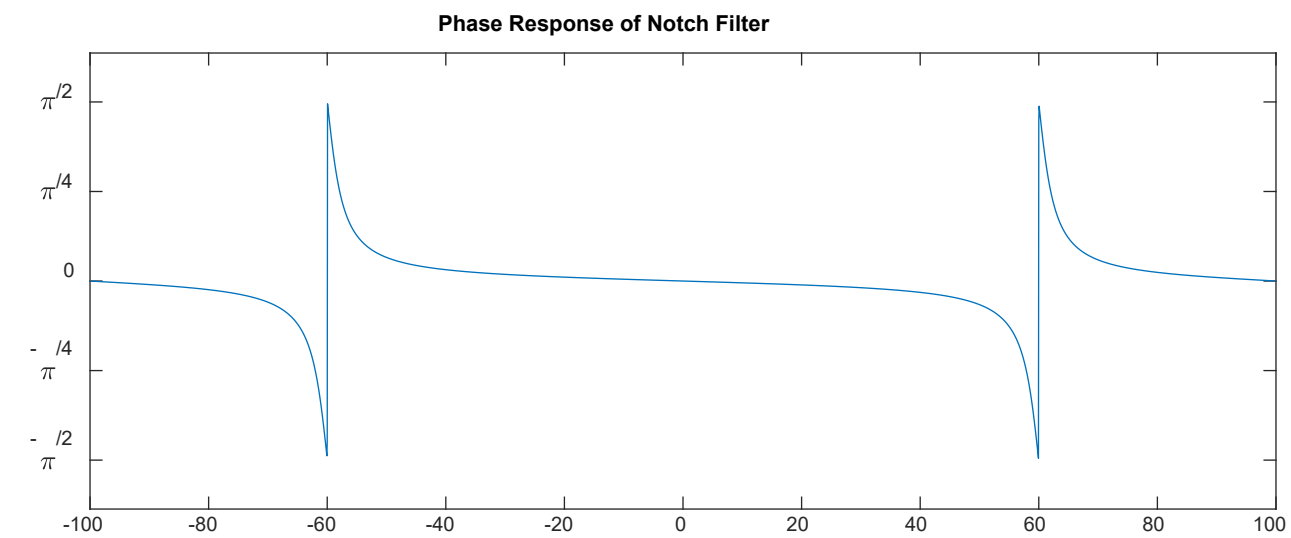
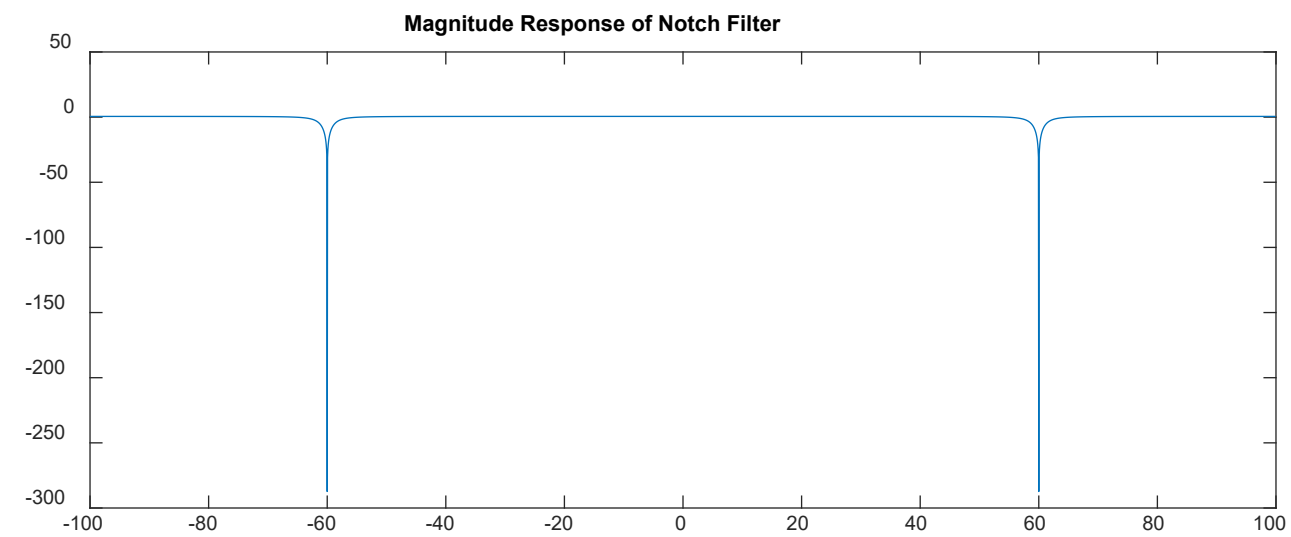
$$f_0 = 60 \text{ Hz}$$

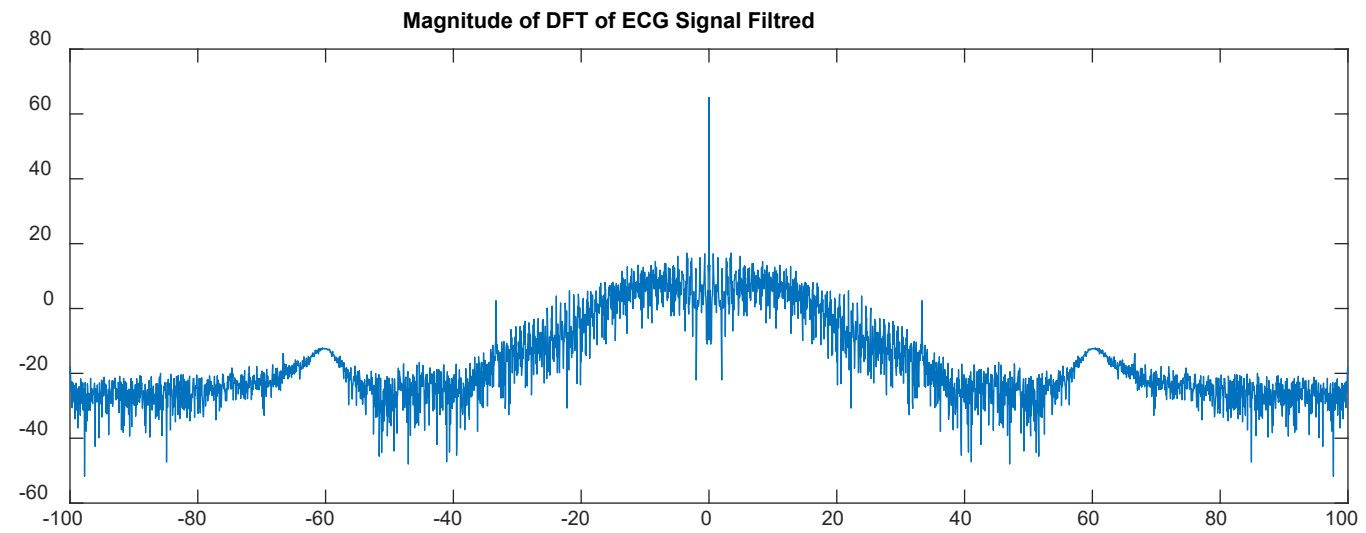
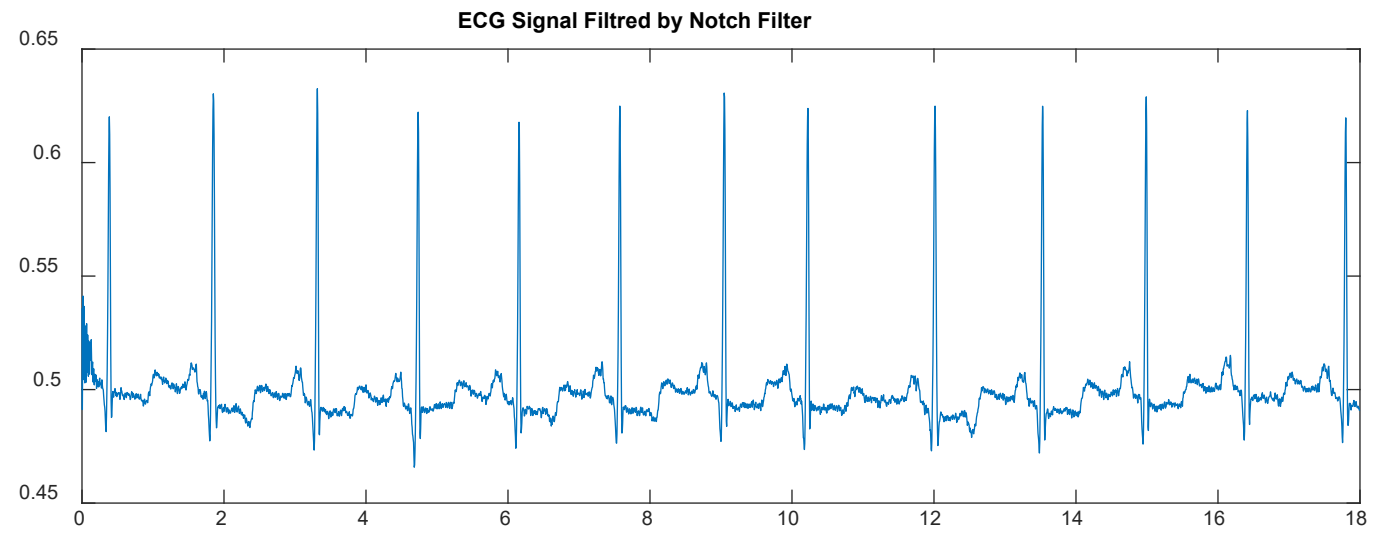
Sinal ecg100.dat do banco de arritmias do MIT contaminado com um ruído sintético de 60 Hz.

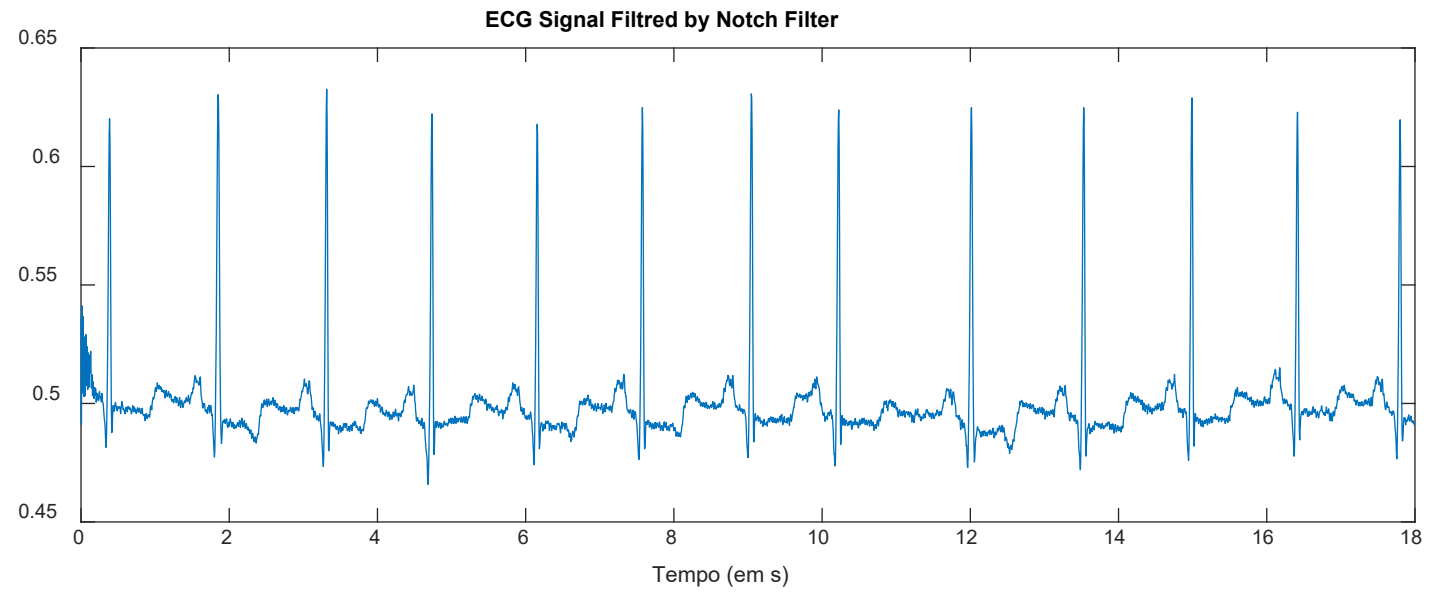
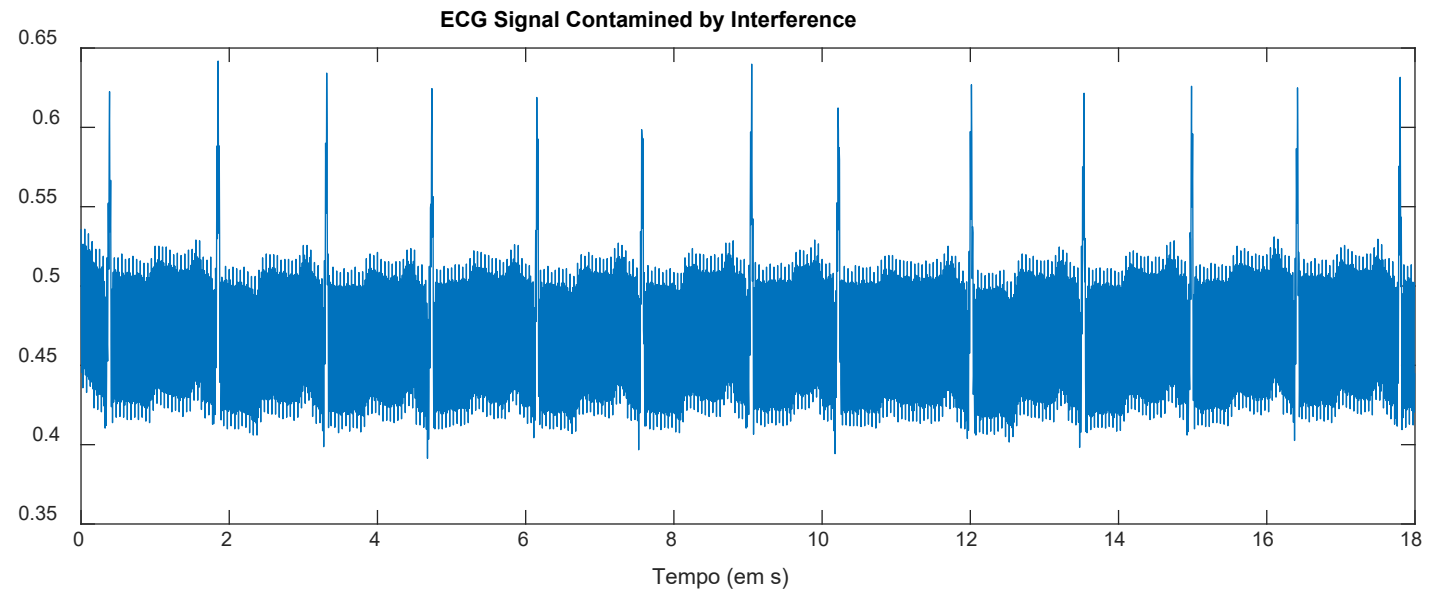






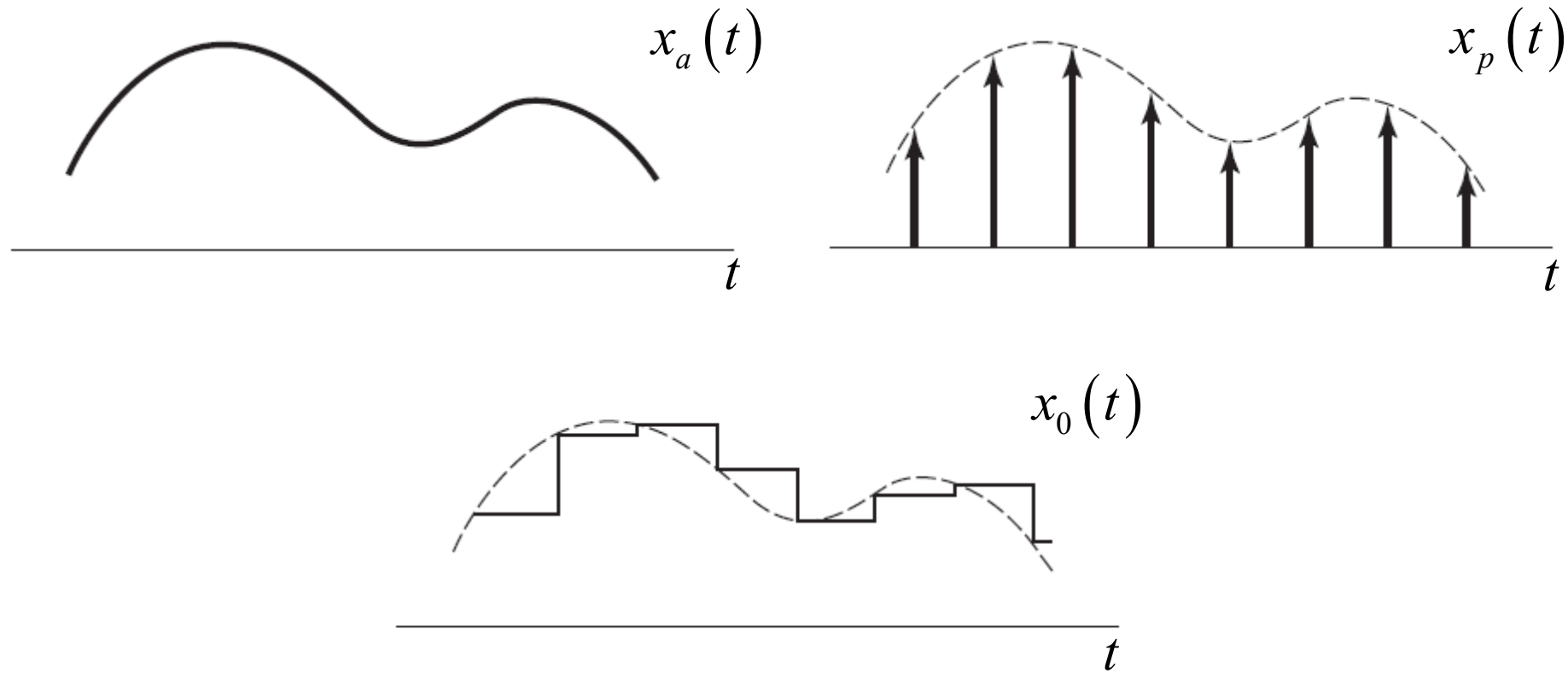






Amostragem Prática

Utiliza um retentor de ordem zero (*zero-order hold* – ZOH): “Segura” o valor da amostra até a próxima.



Amostragem Prática

Escolha da taxa de amostragem: na natureza não existem sinais limitados em banda;

Solução:

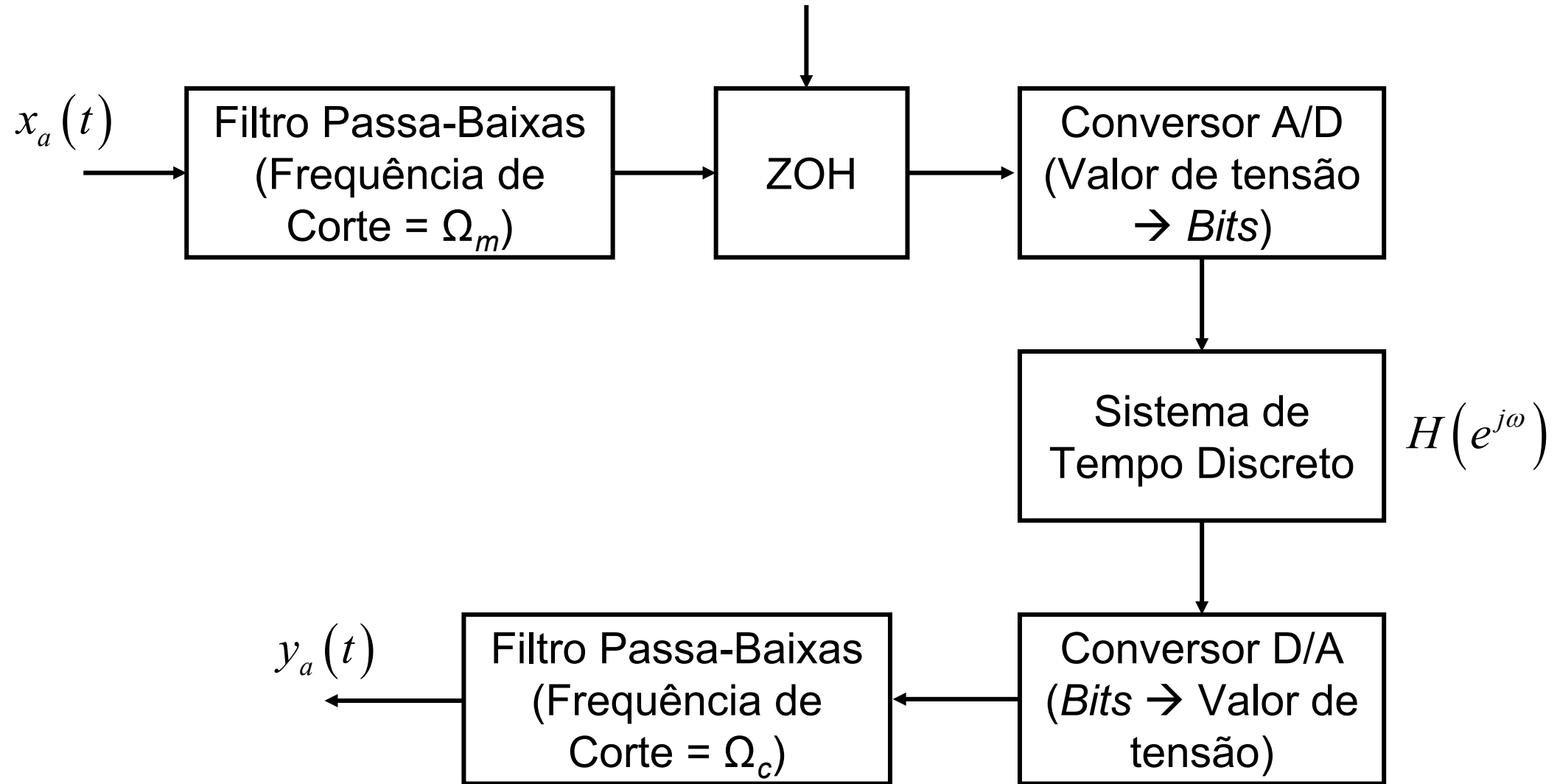
- Aplicar um filtro passa-baixas antes da amostragem (*anti-aliasing*);
- Amostrar com uma taxa superior à de Nyquist (usualmente 25%);
 - Considerar a frequência de corte do filtro.

Resumo: Na prática:

- Aplicar um filtro passa-baixas antes da amostragem (*anti-aliasing*);
- Amostrar com uma taxa superior à de Nyquist (usualmente 25%);
- Utilizar um ZOH;
- Recuperar com um filtro passa-baixas;

$$\Omega_s \approx 1,25(2\Omega_m) \approx 2,5\Omega_m$$

$$T = 2\pi/\Omega_s$$



Ainda é justo admitir que: $\omega = \Omega T$